

# ПРОСТРАНСТВЕННО-ВРЕМЕННЫЕ ОСЦИЛЛЯЦИИ КОНЦЕНТРАЦИЙ ПРИ МЕХАНИЧЕСКОМ СПЛАВООБРАЗОВАНИИ ПОРОШКОВ Fe–B

*В.А.Пурин, В.А.Баринов, С.Б.Пузышев*

Известно [1,2], что механическая обработка в энегонасыщенных измельчительных аппаратах является одним из эффективных способов реализации химического и топологического беспорядка в твердом теле. Однако разупорядоченное состояние не удавалось зафиксировать при механическом сплавообразовании (МС) элементарных порошков Fe и B [3]. Доминирование процессов образования различных кристаллических фаз на основе железа и бора и аморфной фазы вблизи эквиатомного состава позволяет утверждать, что мощность, выделяющаяся при использованном наборе параметров механической обработки, превышает уровень, необходимый для активации процесса синтеза твердого раствора в системе Fe–B [4].

В данной работе представлены результаты мессбауэровского исследования кинетики механического сплавообразования смеси Fe+50 ат.% B в условиях пониженного энергоподвода. Процесс сплавообразования проводился в центробежно-планетарной мельнице типа "Пульверизетте" в атмосфере очищенного гелия при скорости вращения около 200 об/мин. Предполагалось, что использование газовой среды с высокой теплопроводностью наряду с низкой скоростью механической обработки обеспечит в данном случае необходимый температурный режим для гомогенного растворения компонентов смеси без образования интерметаллических соединений.

На рис. 1 представлены мессбауэровский спектр и соответствующая ему функция распределения  $p(H)$  для образца, дробленного 50 ч. ЯГР-спектр имеет широкие линии, свидетельствующие о наличии различных окружений резонансного атома Fe и отсутствии интерметаллидов. Подобный спектр наблюдался при исследовании аморфных лент с составом  $Fe_{80}B_{20}$  [5]. Величина сверхтонкого поля меньше, чем для  $\alpha$ -Fe, и составляет  $H_{hf} = 292$  кЭ. Это соответствует, исходя из концентрационной зависимости  $H_{hf} = f(C_B)$  [6], средней концентрации бора в образце  $12 \pm 1$  ат.% B.

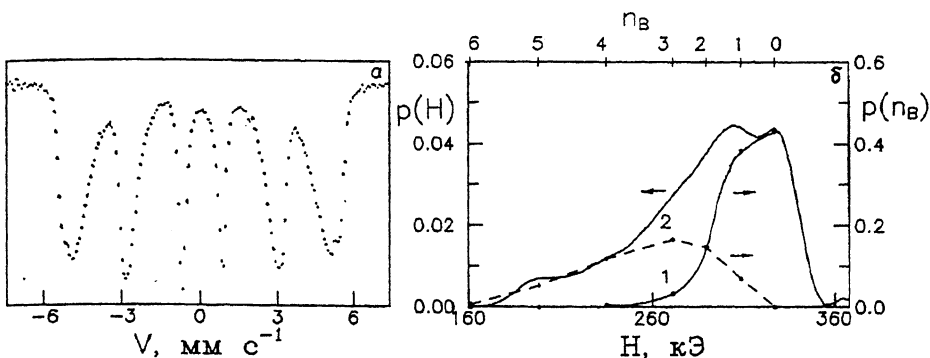


Рис. 1. Экспериментальный ЯГР-спектр (а) и функция распределения  $p(H)$  (б) образца после обработки в мельнице 50 ч. 1 — функция биноминального распределения для состава сплава Fe+12 ат.% В; 2 — функция биноминального распределения для состава сплава Fe+25 ат.% В.

Функция распределения  $p(H)$  асимметрична и представляет собой сумму гауссианов от различных конфигураций, что характерно для статистического распределения элементов. Вследствие того что концентрационная зависимость  $H_{hf} = f(C_B)$  может быть аппроксимирована двумя линейными участками с разным наклоном,  $\Delta H_B$  будет разной. Для концентрационного интервала  $0 < C_B \leq 25$  ат.% —  $\Delta H_B = 21$  кЭ, а для  $C_B > 25$  ат.% —  $\Delta H_B = 31$  кЭ. Для составов сплава FeB с содержанием  $C_B < 16$  ат.% локальные атомные окружения близки к окружениям в ОШК-Fe и координационное число  $z = 8$  [7]. На рис. 1, б совместно с функцией  $p(H)$  изображена функция распределения вероятности появления статистических флюктуаций в соответствии с биноминальным распределением для  $z = 8$  и  $C_B = 12$  ат.%. На рисунке пунктирной кривой показана функция биноминального распределения при  $C_B = 25$  ат.%, для которого в соответствии с работой [7] имеет место плотноупакованная структура с  $z = 12$ .

Модельный расчет спектров в предположении двух секстетов показал, что в процессе синтеза площадь секстета с  $H_{hf} = 270$  кЭ, соответствующим  $z = 12$ , увеличивается. В структурном отношении это эквивалентно росту объема фазы с составом  $\text{Fe}_{75}\text{B}_{25}$ .

Итак, исходя из функции распределения  $p(H)$  и рассчитанной на ее основе функции  $p(n)$ , можно заключить, что при механическом сплавообразовании в выбранном режиме дробления микроструктура образца может быть описана в виде смеси окружений, соответствующих  $z = 12$ , и окружений Fe, не имеющих соседей В или имеющих один атом бора с  $z = 8$ . Такого же типа гетерогенная микроструктура

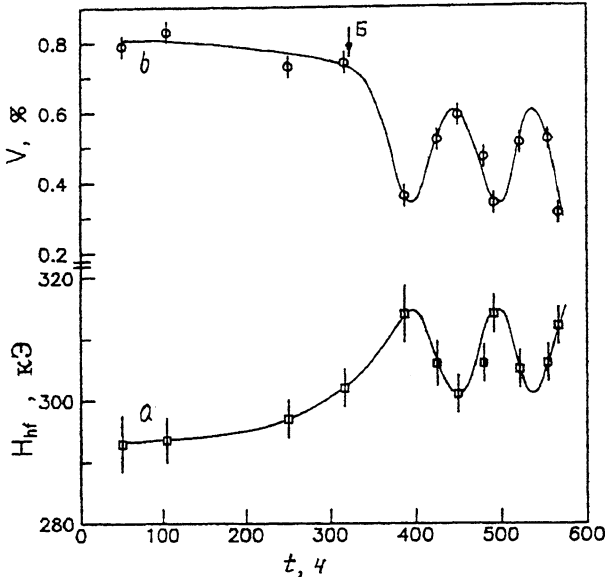


Рис. 2. Зависимость величины среднего сверхтонкого поля  $H_{hf}$  (кривая а) и объема боросодержащей фазы (кривая б) от времени механической обработки в мельнице.

наблюдалась в аморфной фазе доэвтектоидного состава, полученной быстрой закалкой [8,9]. Объем, занимаемый кластерами с  $n = 0$ , рассчитанный из функции  $p(H)$ , равен 0.26. Эта величина соответствует пороговому значению переколяции для кластеров, имеющих связь металл–металлоид, и соответствует составу  $C_B = 15\text{--}16$  ат.%. Ожидалось, что с увеличением времени дробления концентрация бора в сплаве будет увеличиваться, поскольку в исходной смеси было заложено 50 ат.% В. На рис. 2 представлены зависимости величины среднего сверхтонкого поля и объема боросодержащей фазы, рассчитанные из мессбауэровских спектров, от времени дробления. Монотонного увеличения концентрации бора не наблюдается. Видно, что в точке Б ( $t = 300$  ч) происходит резкое изменение параметров и в дальнейшем — периодическое изменение величин  $H_{hf}$  и  $V$ , свидетельствующее об изменении состава и уменьшении содержания бора в образце. При диспергировании структуры частиц порошка и увеличении поглощенной энергии в условиях, когда скорость образования дефектов больше скорости диффузии, происходит накопление дефектов решетки до критической концентрации, что приводит к нестабильной структуре. В этом случае мы имеем дело с неравновесным фазовым переходом, а точка Б характеризует критическую концентрацию дефектов, после которой система теряет устойчивость. После потери устойчивости равнове-

сия установившимся режимом оказывается колебательный режим — последовательность максимумов различных концентраций, сменяющих друг друга. Периодические колебания не затухают, по-видимому, из-за присутствия свободных реагентов Fe и В и постоянного энергоподвода. Такие колебания аналогичны наблюдаемым химическим колебаниям, известным примером которых может служить реакция Белоусова-Жаботинского [10], при которой происходит автоколебательный режим окисления-восстановления. В нашем случае аналогом является процесс синтеза и распада твердого раствора в диффузионной зоне сплава, полученного механическим легированием.

### Список литературы

- [1] Елсуков Е.П., Баринов В.А., Коныгин Г.Н. // ФММ. 1986. Т. 62. № 4. С. 719–723.
- [2] Schwarz R.B., Koch C.C. // Appl. Phys. Lett. 1986. V. 49. P. 146–150.
- [3] Баринов В.А., Цурин В.А., Елсуков Е.П., Овечкин Л.В., Дорофеев Г.А., Ермаков А.Е. // ФММ. 1992. Т. 10. С. 148–153.
- [4] Schultz L. // Phys. Magazine B. 1990. V. 61. N 4. P. 453–471.
- [5] Okumura H., Ishihara K.N., Chingu P.H. et al. // J. of Mat. Science. 1992. V. 27. P. 153–160.
- [6] Chien C.L., Unruh K.M. // Phys. Rev. 1982. B 25. P. 5790–5796.
- [7] Hasegawa R., Ranjan Ray // J. Appl. Phys. 1978. V. 49(7). P. 4174–4179.
- [8] Dubouis J.M., Le Caer G. // Nucl. Instr. Methods. 1982. V. 199. P. 307–314.
- [9] Budnick J.I., Sanches F.M., Zhang Y.D., Choi M. et al. // IEEE Trans of Magn. 1987. V. 23. N 4. P. 1937–1944.
- [10] Жаботинский А.М. Концентрационные автоколебания. М.: Наука, 1974. 250 с.

Институт физики  
металлов УрО РАН  
Екатеринбург

Поступило в Редакцию  
26 января 1995 г.